

Diagrammes Ellingham - pH et $i-E$.

Extraits du CAPES 2012.

A-2-1-2 Th(OH)_3 apparaît si $[\text{Th}^{3+}] [\text{OH}^-]^3 = \left(\frac{K_e}{h}\right)^3 > K_s(\text{Th(OH)}_3)$.

A-2-1-2 Th(OH)_3 apparaît si $[\text{Th}^{3+}] [\text{OH}^-]^3 = \left(\frac{K_e}{h}\right)^3 > K_s(\text{Th(OH)}_3)$.

A-2-1-2 Th(OH)_3 apparaît si $[\text{Th}^{3+}] [\text{OH}^-]^3 = \left(\frac{K_e}{h}\right)^3 > K_s(\text{Th(OH)}_3)$.

A-2-1-2 Th(OH)_3 apparaît si $[\text{Th}^{3+}] [\text{OH}^-]^3 = \left(\frac{K_e}{h}\right)^3 > K_s(\text{Th(OH)}_3)$.

A-2-1-2 Th(OH)_3 apparaît si $[\text{Th}^{3+}] [\text{OH}^-]^3 = \left(\frac{K_e}{h}\right)^3 > K_s(\text{Th(OH)}_3)$.

A-2-1-2 Th(OH)_3 apparaît si $[\text{Th}^{3+}] [\text{OH}^-]^3 = \left(\frac{K_e}{h}\right)^3 > K_s(\text{Th(OH)}_3)$.

A-2-1-2 Th(OH)_3 apparaît si $[\text{Th}^{3+}] [\text{OH}^-]^3 = \left(\frac{K_e}{h}\right)^3 > K_s(\text{Th(OH)}_3)$.

A-2-1-2 Th(OH)_3 apparaît si $[\text{Th}^{3+}] [\text{OH}^-]^3 = \left(\frac{K_e}{h}\right)^3 > K_s(\text{Th(OH)}_3)$.

A-2-1-2 Th(OH)_3 apparaît si $[\text{Th}^{3+}] [\text{OH}^-]^3 = \left(\frac{K_e}{h}\right)^3 > K_s(\text{Th(OH)}_3)$.

A-2-1-2 Th(OH)_3 apparaît si $[\text{Th}^{3+}] [\text{OH}^-]^3 = \left(\frac{K_e}{h}\right)^3 > K_s(\text{Th(OH)}_3)$.

A-2-1-2 Th(OH)_3 apparaît si $[\text{Th}^{3+}] [\text{OH}^-]^3 = \left(\frac{K_e}{h}\right)^3 > K_s(\text{Th(OH)}_3)$.

A-2-1-2 Th(OH)_3 apparaît si $[\text{Th}^{3+}] [\text{OH}^-]^3 = \left(\frac{K_e}{h}\right)^3 > K_s(\text{Th(OH)}_3)$.

A-2-1-2 Th(OH)_3 apparaît si $[\text{Th}^{3+}] [\text{OH}^-]^3 = \left(\frac{K_e}{h}\right)^3 > K_s(\text{Th(OH)}_3)$.

A-2-1-2 Th(OH)_3 apparaît si $[\text{Th}^{3+}] [\text{OH}^-]^3 = \left(\frac{K_e}{h}\right)^3 > K_s(\text{Th(OH)}_3)$.

A-2-1-2 Th(OH)_3 apparaît si $[\text{Th}^{3+}] [\text{OH}^-]^3 = \left(\frac{K_e}{h}\right)^3 > K_s(\text{Th(OH)}_3)$.

A-2-1-2 Th(OH)_3 apparaît si $[\text{Th}^{3+}] [\text{OH}^-]^3 = \left(\frac{K_e}{h}\right)^3 > K_s(\text{Th(OH)}_3)$.

A-2-1-2 Th(OH)_3 apparaît si $[\text{Th}^{3+}] [\text{OH}^-]^3 = \left(\frac{K_e}{h}\right)^3 > K_s(\text{Th(OH)}_3)$.

A-2-1-2 Th(OH)_3 apparaît si $[\text{Th}^{3+}] [\text{OH}^-]^3 = \left(\frac{K_e}{h}\right)^3 > K_s(\text{Th(OH)}_3)$.

A-2-1-2 Th(OH)_3 apparaît si $[\text{Th}^{3+}] [\text{OH}^-]^3 = \left(\frac{K_e}{h}\right)^3 > K_s(\text{Th(OH)}_3)$.

A-2-1-2 Th(OH)_3 apparaît si $[\text{Th}^{3+}] [\text{OH}^-]^3 = \left(\frac{K_e}{h}\right)^3 > K_s(\text{Th(OH)}_3)$.

A-2-1-2 Th(OH)_3 apparaît si $[\text{Th}^{3+}] [\text{OH}^-]^3 = \left(\frac{K_e}{h}\right)^3 > K_s(\text{Th(OH)}_3)$.

A-2-1-2 Th(OH)_3 apparaît si $[\text{Th}^{3+}] [\text{OH}^-]^3 = \left(\frac{K_e}{h}\right)^3 > K_s(\text{Th(OH)}_3)$.

② Potentiels d'électrode :

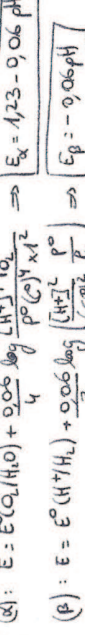
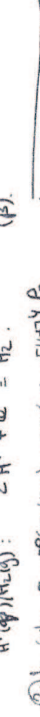
$$E = E^\circ(\text{Th(OH)}_3 / \text{Th}^{3+}) + 0,06 \log \frac{[\text{H}^+]^3}{[\text{H}_2\text{O}]} = (E^\circ - 0,06 \text{ pH}).$$

$\Rightarrow E_{\text{cell}} = -0,13 \text{ V / unité de pH.}$

($E^\circ = 1,5 \text{ V}, \text{pH} = 2,8$)

coordonnées ($E = 1,5 \text{ V}, \text{pH} = 2,8$)

s'opposent à ce segment.



(4) Voir diagramme (page précédente).

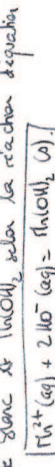
(5) Th^{3+} : instable dans l'eau quel que soit le pH.

Th(OH)_3 : stable dans l'eau au-delà de $\text{pH} = 6,5$.

Th^{2+} : stable dans l'eau pour tout pH.

Th(OH)_2 : existe de façon stable dans l'eau si $\text{pH} > 8,6$ qui sera détaillé.

A-2-2-1 Désorption des oxygénates.



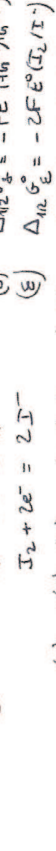
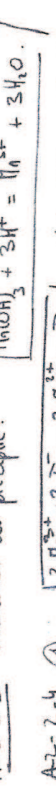
A-2-2-2 ① Th(OH)_2 n'a pas de partie commune avec le domaine de stabilité de O_2 \Rightarrow $\text{Th}(\text{OH})_2$ instable en présence de O_2 .

② O_2 peut se fixer à oxygénat sur $\text{Th}(\text{OH})_2$ selon la réaction:

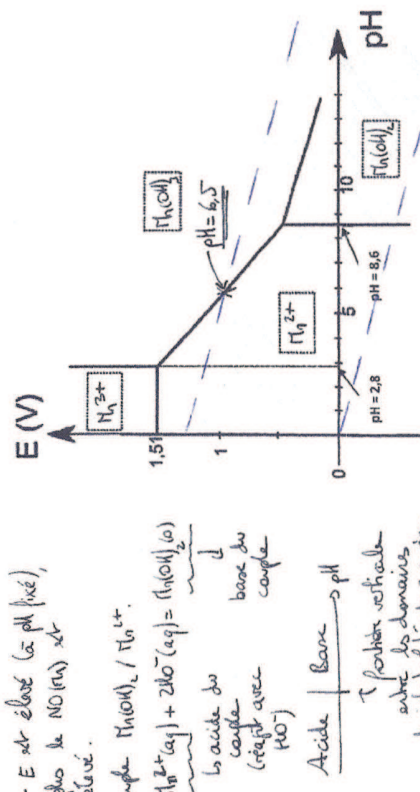


③ La réaction apparaît à 2 phases distinctes \Rightarrow lent.

A-2-2-3 Dissolution du précipité:



⑦



A-2-1-3 Th(OH)_3 apparaît si $[\text{Th}^{3+}] [\text{OH}^-]^3 = \left(\frac{K_e}{h}\right)^3 > K_s(\text{Th(OH)}_3)$.

A-2-1-3 Th(OH)_3 apparaît si $[\text{Th}^{3+}] [\text{OH}^-]^3 = \left(\frac{K_e}{h}\right)^3 > K_s(\text{Th(OH)}_3)$.

A-2-1-3 Th(OH)_3 apparaît si $[\text{Th}^{3+}] [\text{OH}^-]^3 = \left(\frac{K_e}{h}\right)^3 > K_s(\text{Th(OH)}_3)$.

A-2-1-3 Th(OH)_3 apparaît si $[\text{Th}^{3+}] [\text{OH}^-]^3 = \left(\frac{K_e}{h}\right)^3 > K_s(\text{Th(OH)}_3)$.

A-2-1-3 Th(OH)_3 apparaît si $[\text{Th}^{3+}] [\text{OH}^-]^3 = \left(\frac{K_e}{h}\right)^3 > K_s(\text{Th(OH)}_3)$.

A-2-1-3 Th(OH)_3 apparaît si $[\text{Th}^{3+}] [\text{OH}^-]^3 = \left(\frac{K_e}{h}\right)^3 > K_s(\text{Th(OH)}_3)$.

A-2-1-3 Th(OH)_3 apparaît si $[\text{Th}^{3+}] [\text{OH}^-]^3 = \left(\frac{K_e}{h}\right)^3 > K_s(\text{Th(OH)}_3)$.

A-2-1-3 Th(OH)_3 apparaît si $[\text{Th}^{3+}] [\text{OH}^-]^3 = \left(\frac{K_e}{h}\right)^3 > K_s(\text{Th(OH)}_3)$.

$$\Rightarrow K^+ = 10 \frac{E^o(\text{Ta}^{3+}/\text{Ta}^{4+}) - E^o(\text{Ti}^{4+}/\text{Ti}^{3+})}{0,03} = 10^{29,7} \left(\text{ou } 10^{14,9} \text{ ramené à } 1e^- \text{ échangé} \right).$$

A-2-2-5 ① Titrage de Ti^{4+} par Sn^{2+} :

À l'équivalence, la couleur brune du dichroate disparaît (mais, on hâte le titrage au détriment d'anticiper sur cette réaction).

② A l'équivalence du titrage, $n_{\text{Ti}^{4+}} = \frac{n_{\text{Sn}^{2+}}}{2}$ → quantité équivalente.

$$\text{or } n_{\text{Ti}^{4+}} = \frac{n_{\text{O}_2}}{2} \text{ (d'équivalence)} \text{ et } n_{\text{Sn}^{2+}} = n_{\text{SnO}_2} = 4n_{\text{O}_2}.$$

$$\text{Ainsi, } \frac{n_{\text{O}_2}}{2} = 2n_{\text{O}_2} \Rightarrow n_{\text{O}_2} = \frac{n_{\text{SnO}_2}}{4} \Rightarrow \left[\text{O}_2 \right] = \frac{c_{\text{SnO}_2}}{4V_0}.$$

$$③ \text{ AN: } \left[\text{O}_2 \right] = 224 \mu\text{mol.l}^{-1}.$$

- A-2-2-6 ① La solubilité de O_2 diminue avec la température : les puits meurent dans une eau trop chaude par rattachement des O_2 dissous.
 ② $T_{\text{eau}} = \frac{22,7}{20,7} = 1,08 > 1 \Rightarrow$ une autre source de O_2 dans l'eau.
 ③ photosynthèse par algues.

PARTIE B: Ressources minérales au fond de mer.

B-1: Structure de l'atome.

- B-1-1-1 élément des éléments par analogie (familles d'éléments) à partir d'un classement par nombre moléculaire atomique (ou périodicité inversions): l'atome de carbone.

B-1-1-2 Configuration électronique: $\text{Na}^{+} \rightarrow \text{K}^{+} \text{ Fe}^{2+} \text{ Zn}^{2+} \text{ Cu}^{2+} \text{ Ag}^{+} \text{ Cd}^{2+} \text{ Hg}^{2+} \text{ Pb}^{2+}$ [Kr]. Atome colonne.

A la seconde période, 14ème colonne: $\text{Mg}^{2+} \text{ Al}^{3+} \text{ Si}^{4+}$: Groupe colonne.

- B-1-2 ① les atomes d'attracteur occupent les noeuds d'un réseau cubique à faces centrées, ainsi que la moitié des six faces hexagonales.

- ② Ti^{4+} se produit via transition de phase: $\text{Sn}(\beta) \rightarrow \text{Sn}(\alpha)$.
 les propriétés mécaniques évoluent en raison du changement de structure cristallographique.

$$\underline{\text{B-1-3}} \quad \begin{array}{l} \text{① Population = 8 atomes d'attracteur / maille.} \\ \left[\text{3 sommets } \times \frac{1}{8} \right] \rightarrow 1 \text{ atome} \\ \left[6 \text{ faces } \times \frac{1}{2} \right] \rightarrow 3 \text{ atomes} \\ \left[4 \text{ sites } \tau \times 1 \right] \rightarrow 4 \text{ atomes}. \end{array}$$

② $C_a = \frac{8 \tau L_{\text{Sn}}}{\sqrt{A} \cdot a_a} \Rightarrow a_a = 650 \mu\text{m}$.

③ Deux atomes en contact sur le quart de la grande diagonale du cube:

$$\frac{a_a \sqrt{3}}{4} = 2 \tau_{\text{Sn}} \Rightarrow \tau_{\text{Sn}} = \frac{a_a \sqrt{3}}{8} = 141 \mu\text{m}$$

$$\begin{aligned} \underline{\text{B-1-4}} \quad & \text{Volume occupé par les 8 atomes: } 8 \times \frac{4 \pi r^3}{3} (\tau_{\text{Sn}})^3 \\ & \text{Volume de la maille: } a_a^3 \end{aligned}$$

B-2-1 Partie solide accompagnant la métasse dans les minéraux sables.

B-2-2 $\frac{\text{N}(\text{Sn})}{\text{N}(\text{Si})} = + \text{IV} / \text{dans SnO}_2$.

B-2-3 Flanc d'attracteur = 0,75
 Flanc contrebas = 0,75
 Nombre de molécules d'attracteur = $\frac{\text{masse d'attracteur}}{\tau_{\text{Sn}}} = \frac{0,75 \times \text{masse}}{L_{\text{Sn}}} = \frac{0,75 \times \text{masse}}{H_{\text{Sn}}}$

Pr 1 moléculle d'attracteur, il y a 2 molécules de O (oxygène).

Nbre de molécules de SnO_2 = Nbre de molécules de Sn.

\Rightarrow Flanc de carbone = $\frac{0,75 \times \text{masse}}{L_{\text{Sn}}} \times (L_{\text{Sn}} + 2L_{\text{O}})$.

\Rightarrow % de carbone = $\frac{\text{masse carbone}}{\text{masse colonne}} = 0,75 \times \left(1 + 2 \frac{L_{\text{O}}}{L_{\text{Sn}}} \right) = 95\%$

B-3-1 Le système du carbone et de ses oxydes.

B-3-2 $\frac{\Delta H^\circ (\text{kJ.mol}^{-1})}{\Delta S^\circ (\text{J.K}^{-1}.mol^{-1})} \quad \begin{array}{|c|c|c|} \hline & (1) & (2) & (3) \\ \hline \text{C}(s) + \text{O}_2(g) & -224,0 & -293,5 & -565,0 \\ \text{CO}_2(g) & 2 \text{CO}_2(g) & 2 \text{CO}(g) & \text{CO}(g) \\ \hline \end{array}$

B-3-3 $\frac{\Delta H^\circ (\text{kJ.mol}^{-1})}{\Delta S^\circ (\text{J.K}^{-1}.mol^{-1})} \quad \begin{array}{|c|c|c|} \hline & (1) & (2) & (3) \\ \hline \text{C}(s) + \text{O}_2(g) & 173,8 & 174,6 & -174,6 \\ \hline \end{array}$

(2)

(3)

$$\text{B-3-3-} \quad \textcircled{1} \quad \Delta f^\circ(T) = \Delta H^\circ(T) - T \cdot \Delta S^\circ(T).$$

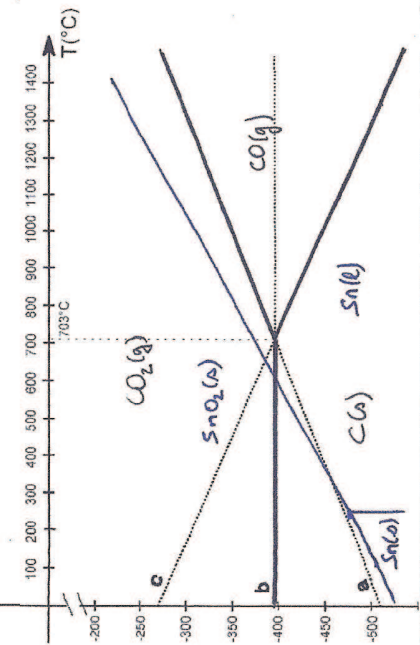
\textcircled{2} Fonction affine de T si ΔH° et ΔS° indépendants de T
 \Leftrightarrow approximation d'Ellingham ($\Delta G^\circ < 0$ sur un domaine de température où aucun condensat ne chauffe d'électrode).

B-3-4 En première approximation, le signe de ΔS° peut être trouvé en regardant l'évolution du nombre de molécules de gaz dans cas de chaque réaction de formation d'oxyde.

- (1) $\text{Zn(gas)} = +1 \Rightarrow \Delta S^\circ > 0 \Rightarrow$ pente négative. (c)
- (2) $\text{Zn(s)} = 0 \Rightarrow \Delta S^\circ \approx 0 \Rightarrow$ droite quasi-horizontale (b)
- (3) $\text{Zn(gas)} = -1 \Rightarrow \Delta S^\circ < 0 \Rightarrow$ pente positive. (a).

B-3-5 En plongant le domino de stabilité de l'oxydant au-dessus de chaque droite, on voit que celle qui relèvera au-dessus, on met en évidence que CO a deux domaines de stabilité distincts avant 703°C \Rightarrow il se dissout pour $T < 703^\circ\text{C}$.

B-3-6 On connaît donc exclusivement la courbe $\text{CO}_2(\text{g})/\text{CO}$ avant 703°C.
 $\uparrow \Delta_f G^\circ(\text{kJ.mol}^{-1})$



B-4 - Réduction de la constante.

- B-4-1 (4) $\text{Sn(s)} + \text{O}_2(\text{g}) = \text{SnO}_2(\text{s})$ [on rapporte SnO_2 au fond pour $\Delta f G^\circ = 0$ à 298 K] ;
(5) $\text{Sn(s)} + \text{O}_2(\text{g}) = \text{SnO}_2(\text{s})$
(6) : fusion de l'étain : $\text{Sn(s)} = \text{Sn(l)}$.

$$(6) = (4) - (5) \Rightarrow \Delta_f H^\circ(\text{Sn}) = \Delta_f H^\circ_{\text{Sn}} - \Delta_f H^\circ_{\text{SnO}_2} = -539,7 + 527,8.$$

$$\boxed{\Delta_f H^\circ(\text{Sn}, 505 \text{ K}) = 7,10 \text{ kJ.mol}^{-1} \quad (\text{signe positif car fusion à l'état métallique})}$$

B-4-2 $\textcircled{1}$ Voir page précédente.
 $\textcircled{2}$ On cherche T_i : la point appartient aux droites (5) et (2)

$$\Delta G^\circ(\text{Ti}) = \Delta f G^\circ_2(\text{Ti}) \Leftrightarrow -587,9 + 92183 \text{ Ti} = -393,5 - 2,10 \cdot 10^{-3} \cdot \text{Ti}$$

$$\Rightarrow \boxed{\text{Ti} = 882 \text{ K}. \quad (609 \text{ °C})}$$

B-4-3 $\textcircled{1}$ En-dessous de 609°C, ni C, ni CO ne peut réduire SnO_2 .

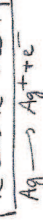
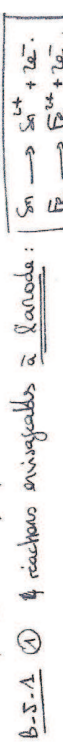
Entre 609°C et 703°C, seul C peut réduire SnO_2 (équation (7)). Au-delà de 703°C, C et CO peuvent réduire SnO_2 : (8) et (9).

$$(7) : \text{SnO}_2(\text{l}) + \text{C(s)} = \text{Sn(l)} + \text{CO}_2(\text{g})$$

$$(8) : \text{SnO}_2(\text{l}) + 2 \text{CO(g)} = \text{Sn(l)} + 2 \text{CO}_2(\text{g})$$

(9) $\textcircled{4}$ Si la température d'intérieur de l'équilibrage (T).
Si $T < \text{Ti}$: réaction (7) favorable en sens inverse ($\nu_7 < 1$).
Si $T > \text{Ti}$: réaction (7) favorable en sens direct ($\nu_7 > 1$).
En se plaçant à 1300°C, les 2 réactions sont favorisées.
Le produit est alors à l'équilibre finide. (étain).

B-5 Raffinage électrolytique.



Seuls les 2 premières peuvent être réalisées à la cathode.

- \textcircled{2} 4 réactions (réductions) négociables à la cathode :
- | | | |
|--|---|--|
| $\text{Ag}^{+} + e^- \rightarrow \text{Ag}$ | $\text{Fe}^{2+} + 2e^- \rightarrow \text{Fe}$ | $\text{H}_2 \rightarrow \text{H}_2 + 2e^-$ |
| $\text{Sn}^{4+} + 2e^- \rightarrow \text{Sn}^{2+}$ | $\text{Fe}^{2+} + 2e^- \rightarrow \text{Fe}$ | $\text{H}_2 \rightarrow \text{H}_2 + 2e^-$ |
- Cathode : $\text{Sn}^{4+} + 4e^- \rightarrow \text{Sn(l)}$. (10)

B.5.2 ① Fe oxydé en Fe^{2+} (non réduit par la vitie) \Rightarrow [fer dans le bain sans forme Fe⁺]

② Ag non oxydé \Rightarrow [Ag : récupéré sous forme solide au fond du bain].

B.5.3 L'oxyde (majoritairement l'étain) est consommé au cours de l'électrolyse
($\text{Sn} \rightarrow \text{Sn}^{2+} + 2e^-$). Egalement détruit pour le zinc.

B.5.4 A pH=0, le potentiel d'électrode du couple H^+/H_2 vaut 0,00 V.
($E = -0,06 \text{ V}$: voir partie A). Ici, la courbe de réduction de H^+ démarre vers -0,93 V.

$$I_c (\text{H}_2, \text{Sn}) = -0,93 \text{ V}$$

B.5.5 Quantité d'électrons échangés pendant l'électrolyse dans la pétroline \Rightarrow [à 100%]
 $I_{\text{élect}} = \frac{I \Delta t}{F} = \frac{2 \times 10^{-3} \times 15 \times 60}{9,65 \cdot 10^4} = 1,12 \text{ mol}$.

\Rightarrow 88% seulement sont "utilisés", c'est à dire servent à former $\text{Sn}^{(II)}$ pur,

sont 9,85 mol

or 2e⁻ sont nécessaires pour former 1 atome de Sn

$$\Rightarrow m_{\text{Sn}} = 584 \text{ g} \quad (\text{masse détruite par formé}).$$

B.5.6 On dit qu'un métal est passif quand il se forme à sa surface une couche d'un solide isolant électrique qui empêche les processus électrochimiques à la surface du métal.